

| | |
|-----------------------|--|
| Inwestor | Miasto Jelenia Góra Plac Ratuszowy 58 58-500 Jelenia Góra |
| Wykonawca | PHPU s.c. "ALE" Zenon i Leszek Kusiak ul. Parkowa 1,59-820 Zaręba tel/fax 75 722 18 35 e-mail: biuro@alesc.pl  |
| Jednostka projektowa: | <i>ArtMOST</i> ul. Rędzińska67, 54-106 Wrocław tel 600 425 036 ArtMOST@gmail.com www.artmost.republika.pl |
| Nazwa opracowania: | EKSPERTYZA TECHNICZNA stanu technicznego wiaduktu drogowego nad linią kolejową - ulica Goduszyńska w Jeleniej Górze. |
| Branża: | MOSTOWA |



| | | |
|----------------|------------|---------|
| Nr archiwalny: | Stadium: | Data: |
| - | ekspertyza | 04-2013 |

| STANOWISKO | IMIĘ I NAZWISKO | UPRAWNIENIA | PODPIS |
|------------|---------------------------|-------------|--------|
| PROJEKTANT | mgr inż. Tomasz Zajęc | 264/DOŚ/07 | |
| ASYSTENT | mgr inż. Arkadiusz Kusiak | | |

SPIS TREŚCI

| | |
|--|-----------|
| 1. PRZEDMIOT OPRACOWANIA | 3 |
| 2. CEL I ZAKRES OPRACOWANIA | 3 |
| 3. PODSTAWA OPRACOWANIA..... | 3 |
| 4. MATERIAŁY WYKORZYSTANE W DOKUMENTACJI | 3 |
| 5. OGÓLNA CHARAKTERYSTYKA OBIEKTU..... | 4 |
| 6. INWENTARYZACJA USZKODZEŃ OBIEKTU | 10 |
| 6.1. Opis elementów konstrukcji | 10 |
| 6.2. Fotograficzna inwentaryzacja uszkodzeń | 10 |
| 6.3. Geodezyjne pomiary spadków jezdni | 19 |
| 6.4. Ocena stanu technicznego | 21 |
| 6.4.1. Ustrój nośny | 21 |
| 6.4.2. Ściany czołowe | 22 |
| 6.4.3. Podpory | 22 |
| 6.4.4. Inne nieprawidłowości stwierdzone na obiekcie | 23 |
| 7. BADANIA KONSTRUKCJI i WYNIKI | 23 |
| 7.1. Szczegółowy zakres badań | 23 |
| 7.2. Ocena jednorodności betonu za pomocą metody sklerometrycznej..... | 23 |
| 7.3. Lokalizacja prętów zbrojeniowych oraz ocena grubości betonowej otuliny | 25 |
| 8. STATYCZNO – WYTRZYMAŁOŚCIOWA ANALIZA KONSTRUKCJI..... | 26 |
| 8.1. Założenia do obliczeń..... | 26 |
| 8.2. Ustrój niosący | 26 |
| 8.2.1. Zestawienie obciążeń | 26 |
| 8.2.2. Model obliczeniowy | 28 |
| 8.2.3. Siły wewnętrzne | 28 |
| 8.2.4. Wymiarowanie | 29 |
| 8.1. Ściana czołowa | 30 |
| 8.1.1. Schematy obciążenia..... | 30 |
| 8.1.2. Wyciąg z obliczeń programu do ścian oporowych - stan bez uszkodzeń | 31 |
| 8.1.3. Nośność ściany uszkodzonej | 33 |
| 8.1.4. Nośność ściany uszkodzonej przy prowadzeniu ruchu w osi obiektu..... | 35 |
| 8.2. Wnioski z obliczeń..... | 35 |
| 9. KONCEPCJE PRAC NAPRAWCZYCH..... | 36 |
| 9.1. Zakres prac doraźnych..... | 36 |
| 9.2. koncepcja wzmocnienia | 36 |
| 9.3. koncepcja przebudowy | 36 |
| 10.WNIOSKI I ZALECENIA | 37 |

1. PRZEDMIOT OPRACOWANIA

Przedmiotem niniejszego opracowania jest wiadukt drogowego nad linią kolejową - ulica Goduszyńska w Jeleniej Górze.

2. CEL I ZAKRES OPRACOWANIA

Celem opracowania jest ocena stanu technicznego wyżej wymienionego wiaduktu drogowego.

W tym celu wykonano badania konstrukcji wiaduktu wraz pomiarami.

Zakres opracowania w szczególności obejmuje:

Zakres opracowania obejmuje:

- szczegółową inwentaryzację istniejącego obiektu wraz z rysunkami
- informację określającą przyczyny uszkodzeń wiaduktu
- sprawdzenie nośności ustroju niosącego i określenie jego przydatności pod kątem przebudowy
- wnioski i zalecenia dotyczące jego zabezpieczenia i naprawy w celu dalszej eksploatacji.

3. PODSTAWA OPRACOWANIA

Niniejsze opracowanie wykonano na zlecenie: Miasto Jelenia Góra, Plac Ratuszowy 58, 58-500 Jelenia Góra, zgodnie z umową nr MZDiM/03/2013 z dnia 29.03.2013.

Podstawę do sporządzenia opracowania stanowią:

- Oględziny obiektu, inwentaryzacja i materiały zdjęciowe wykonane w dniach 28.03.2013 r i 30.03.2013 r.
- Badania "in-situ" sklepienia betonowego wykonane w dniu 30.04.2013 r.
- Literatura i normy z zakresu budownictwa mostowego.

4. MATERIAŁY WYKORZYSTANE W DOKUMENTACJI

- Dokumentacja fotograficzna;
- Metryka obiektu;
- Protokół oględzin Powiatowego Inspektora Nadzoru Budowlanego z dnia 4.09.2012,
- Postanowienie nr 84/12 Powiatowego Inspektora Nadzoru Budowlanego z dnia 14.09.2012.

Podstawy techniczne obliczeń:

- | | |
|-------------------|---|
| [1] PN-85/S-10030 | Obiekty mostowe. Obciążenia |
| [2] PN-91/S-10042 | Obiekty mostowe. Konstrukcje betonowe, żelbetowe i sprężone. Projektowanie. |

- [3] Rozporządzenie Ministra Transportu i Gospodarki Morskiej z dnia 30 maja 2000r. w sprawie warunków technicznych, jakim powinny odpowiadać drogowe obiekty inżynierskie i ich usytuowanie
- [4] PN-81/B-03020 Grunty budowlane. Posadowienie bezpośrednie budowli. Obliczenia statyczne i projektowanie.
- [5] PN-B-03002:1999 Konstrukcje murowe niezbrojone – Projektowanie i obliczanie.
- [6] Wzory i tablice do projektowania konstrukcji murowych niezbrojonych wg PN-B-03002:1999

5. OGÓLNA CHARAKTERYSTYKA OBIEKTU

Przedmiotowy obiekt znajduje się nad linią kolejową nr 274 Wrocław Świebodzki - Zgorzelec, w ciągu ulicy Goduszyńskiej w Jeleniej Górze.

Obiekt jest konstrukcją trójprzęsłową łukową, wykonaną z kamienia i żelbetu. Sklepienia łukowe stanowią ustrój nośny z jazdą górą. Całkowita długość obiektu wynosi 36,66m. Rozpiętość sklepień skrajnych w świetle wynosi 7,55 m, sklepienia środkowego 8,16 m, a szerokość 6,9 m. Po obu stronach wiaduktu, na krawędziach konstrukcji łuków, zlokalizowane są murki oporowe szerokości 35-40,0 cm, wykonane z ciosów kamiennych z czapami kamiennymi oraz naprawionych odcinków z kamienia łamanego na zaprawie z betonowymi czapami. Murki mają wysokość od 50 do 90,0 cm powyżej powierzchni jezdni. Murki nad podporami mają zwiększoną grubość i poszerzone czapy. Na murkach zamontowana jest poręcz z rury stalowej o średnicy 42,5mm na wspornikach o zmiennej wysokości. Bezpośrednio pod murkami są ściany czołowe wykonane z ciosów kamiennych. Przestrzeń między ścianami czołowymi wypełnia zasypka konstrukcji sklepień. Ruch pojazdów odbywa się po jezdni szerokości 6,00 m ograniczonej murkami bez chodnika. Całkowita szerokość wiaduktu wynosi 7,44 m . W przęsłach skrajnych sklepienia łukowe wykonane są z ciosów kamiennych, a ich grubość wynosi 55 cm. Środkowe sklepienie łukowe wykonane jest z betonu zbrojonego, a jego grubość wynosi 60 cm.

Teren w obrębie obiektu nie jest umocniony powierzchniowo. Skarpy porośnięte są roślinnością trawiastą. W pobliżu obiektu znajdują się pojedyncze drzewa oraz krzewy.

Odwodnienie obiektu odbywa się powierzchniowo za pomocą spadków poprzecznych i podłużnych.



Fot. 5.1 Wjazd na obiekt od strony Rybnicy



Fot. 5.2 Wjazd na obiekt od strony Jeleniej Góry

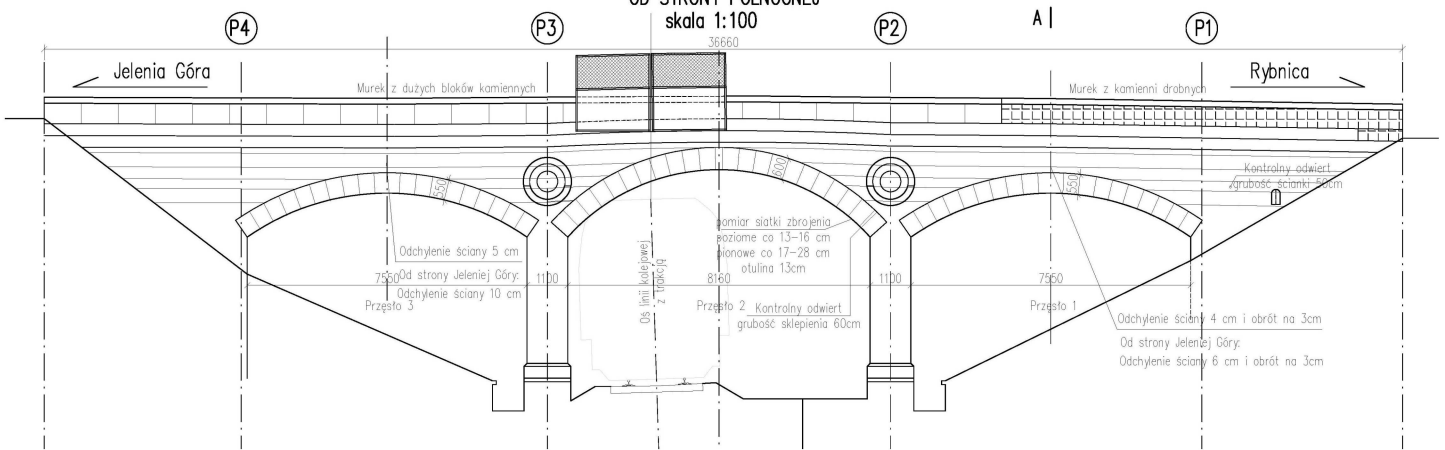


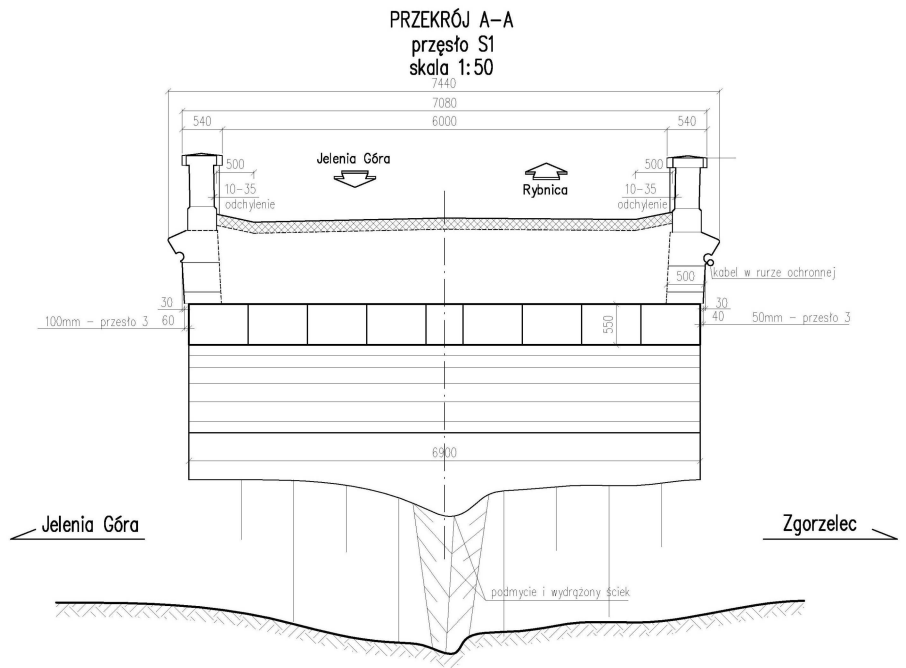
Fot. 5.3 Widok z boku od strony południowej (linia kolejowa od Jeleniej Góry)



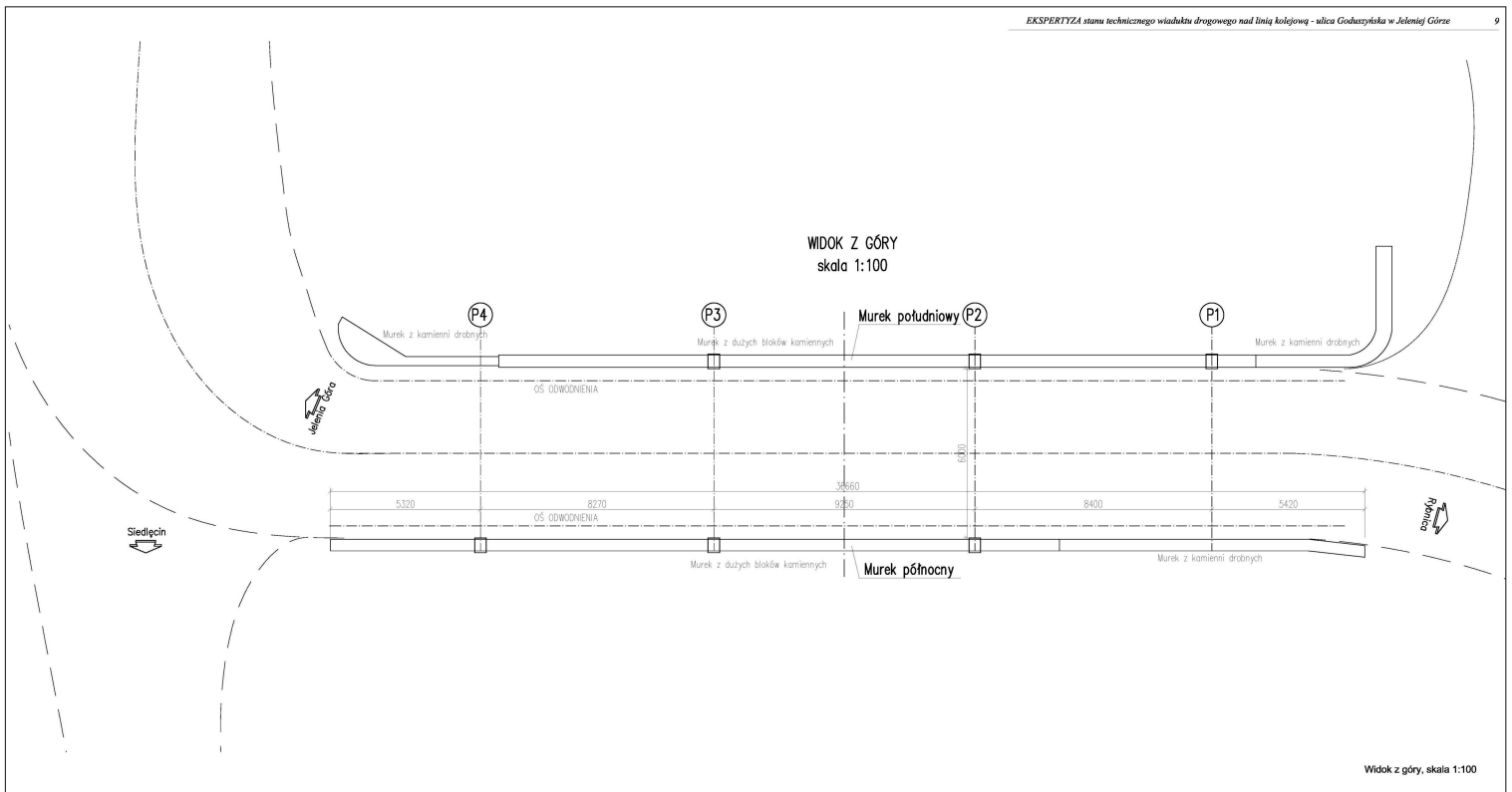
Fot. 5.4 Widok z boku od strony północnej (linia kolejowa od Zgorzelca)

WIDOK Z BOKU
OD STRONY PÓŁNOCNEJ
skala 1:100





WIDOK Z GÓRY
skala 1:100



6. INWENTARYZACJA USZKODZEŃ OBIEKTU

6.1. Opis elementów konstrukcji

Istniejący stan konstrukcji oceniono na podstawie oględzin obiektu przeprowadzonych w dniach 28 i 30.03.2013 r.

Do opisu uszkodzeń poszczególnych elementów konstrukcji przyjęto następujące oznaczenia:

- podpory oznaczono numerami P1, P2, P3 i P4 – jako podporę P1 oznaczono skrajne podparcie sklepienia od strony Rybnicy,
- przęsła (sklepienia) ponumerowano od S1 do S3 – jako sklepienie S1 oznaczono skrajne przęsło od strony Rybnicy,
- ściany czołowe i murki oznaczono jako południowe i północne

6.2. Fotograficzna inwentaryzacja uszkodzeń



Fot. 6.1 Pęknięcie murku południowego od strony Rybnicy



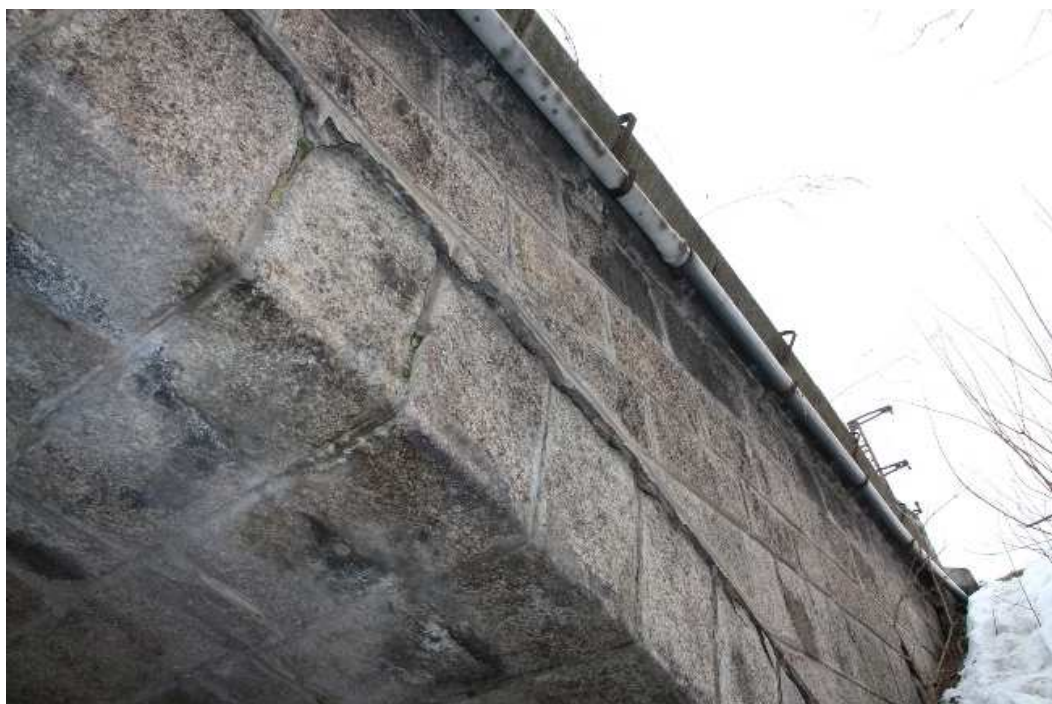
Fot. 6.1 Korozja, ubytki i uszkodzenia ekranów przeciwporażeniowych od północy



Fot. 6.1 Zakrzywienie i odchylenie muru południowego nad przęsłem S3



Fot. 6.2 Odspojenie i przesunięcie na 4 cm ściany czołowej północnej nad przęsłem S1 wraz z odchyleniem od pionu na 3 cm.



Fot. 6.2 J.w. widok w kierunku Rybnicy.



Fot. 6.2 Odspojenie i przesunięcie gzymsu murku północnego od strony Rybnicy.



Fot. 6.2 Odspojenie i przesunięcie na 6 cm ściany czołowej południowej nad przęsłem S1 wraz z odchyleniem od pionu na 3 cm.



Fot. 6.2 Spękanie ciosów kamiennych i spoin wraz z powierzchniowymi ubytkami kamienia ściany czołowej południowej od strony Rybnicy.



Fot. 6.2 Uszkodzenie osłony kabla od strony północnej w kierunku Jeleniej Góry.



Fot. 6.2 2 Odspojenie i przesunięcie na 6 cm ściany czołowej północnej nad przęśtem S3.



Fot. 6.2 2 Odspojenie i przesunięcie na 10 cm ściany czołowej południowej nad przęśtem S3.



Fot. 6.2 2 Zawilgocenia, zacieki i wykwyty na podporze P1 i sklepieniu S1 wraz z podmyciem skarpy.



Fot. 6.2 2 Zawilgocenia, zacieki i wykwyty na podporze P2 i sklepieniu S1.



Fot. 6.2 2 Zarysowania, zawilgocenia, zacieki i wykwyty na sklepieniu betonowym S2 i podporze P2.



Fot. 6.2 2 Zarysowania, zawilgocenia, zacieki i wykwyty na podporze P3 i sklepieniu betonowym S2.



Fot. 6.2 2 Zarysowania, zawilgocenia, zacieki i wykwyty na podporze P3 i sklepieniu S3 wraz z wypłukaniem spoin.



Fot. 6.2 2 Pęknięcie ciosów kamiennych na podporze P3 nad sklepieniem S3.

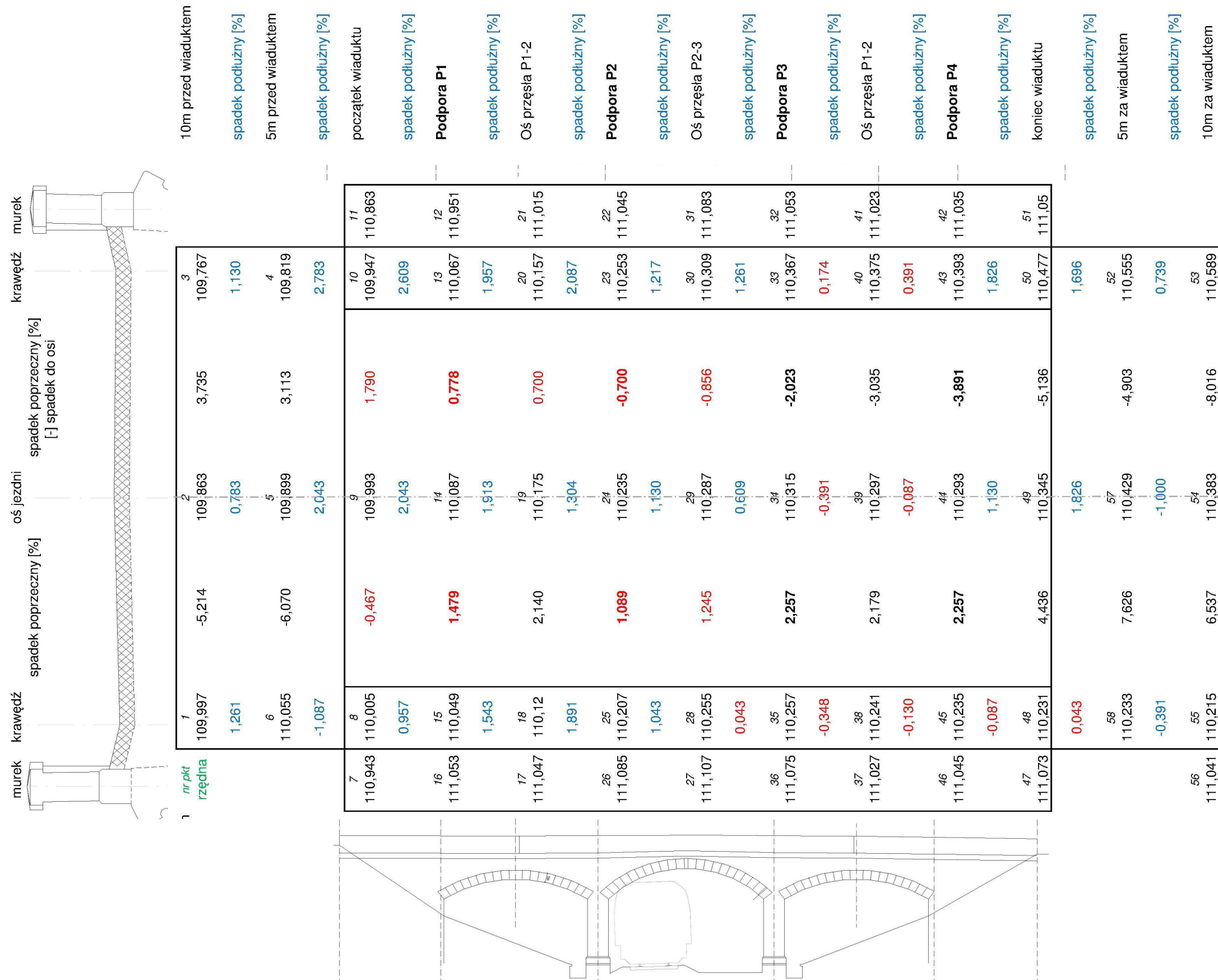


Fot. 6.2 2 Zarysowania, zawilgocenia, zacieki i wykwyty na podporze P4 i sklepieniu S3

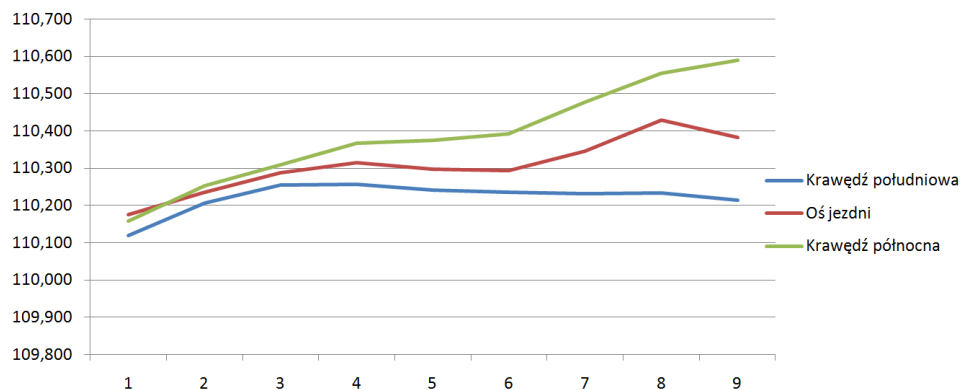
6.3. Geodezyjne pomiary spadków jezdni

Jedną z podstawowych przyczyn degradujący obiekt i wpływających na ograniczanie jego trwałości jest oddziaływanie wód powierzchniowych. W związku z powyższym wykonano pomiary geodezyjne niwelacji nawierzchni jezdni i określono spadki poprzeczne i podłużne. Zgodnie z przepisami dla skutecznego odprowadzenia wody należy zapewnić spadki poprzeczne o wartości 2% i minimalny spadek podłużny 0,5%, a przy większej długości (więcej niż 25 m) spadek podłużny powinien wynosić 2%.

Poniżej zestawiono wyniki pomiarów niwelacyjnych w charakterystycznych przekrojach - nad podporami i środku rozpiętości przęseł.



Rys. 6.3.1 Niwelacja nawierzchni jezdni wiaduktu - w widoku z góry z rzędnymi względnymi i spadkami (na czerwono zbyt małe spadki)



Rys. 6.3.2 Profile podłużne niwelacji.

Pomiary niwelacyjne i analiza lokalna wykresów wskazuje, że na większej części powierzchni jezdni są za małe spadki i **nie zapewnione jest szybkie i skuteczne odprowadzenie wody**.

Globalna analiza wskazuje na krawężni południowej w obrębie sklepienia S3 mogą powstawać zastoiny wodne z uwagi na wklęsły przebieg niwelety.

Jesienią 2012 roku wykonano wymianę nawierzchni co w znaczący sposób ograniczyło możliwości oddziaływania wód powierzchniowych na zasypkę i konstrukcję wiaduktu. W szczególności ukształtowanie z betonu asfaltowego przeciwnospadku o szerokości 50 cm przy murkach skutecznie odsunęło degradacyjny wpływ wód. Jednakże przy podejmowaniu powyższych działań należy pamiętać również o zapewnieniu spadków zapewniających skuteczne i szybkie odprowadzenie wody poza obiekt.

Ukształtowanie przyległego terenu wskazuje, że od strony północnej z obu stron wiaduktu napływają wody wpływające na podmycie ścianek czołowych i podpór. W szczególności wody napływające drogą podporządkowaną z kierunku Siedlęcina powinny zostać odprowadzone tak, aby nie oddziaływały na wiadukt.

6.4. Ocena stanu technicznego

6.4.1. Ustrój nośny

Stan techniczny konstrukcji niosącej ulega stałemu pogorszeniu się, głównie na skutek wyługowywania zaprawy, którą powodują przecieki wody przez nieszczelności hydroizolacji. Do najistotniejszych uszkodzeń ustroju niosącego należą:

- wykwyty chlorków i obsypywanie się zaprawy spoin;
- pojedyncze nacieki i wykwyty na powierzchni betonu sklepienia, intensywne w szczególności w węzłowie łuku na połączeniu betonu sklepienia z kamiennymi

filarami, co może świadczyć o uszkodzeniu izolacji (prawdopodobnie zniszczono warstwę gliny przy odbudowie sklepienia lub nie zachowano należytej staranności);

- porosty glonów i roślinności na sklepieniach, co świadczy o stałym zawilgoceniu na spodzie sklepień, przy połączeniu ze ścianami czołowymi;
- ubytki korozyjne sklepienia;
- nieliczne podłużne i poprzeczne zarysowania betonowej powierzchni sklepienia;

Szczególnie niebezpieczne są powstałe zarysowania i ubytki spoin połączone z zaciekami i wykwitami w obszarach oparcia ścian czołowych na sklepieniach.

Powyższe uszkodzenia ograniczyły spójność i współpracę ciosów kamiennych.

6.4.2. Ściany czołowe

Najbardziej istotnym i wzbudzającym największe obawy jest stan ścian czołowych po obu stronach wiaduktu. W wyniku oddziaływania obciążeń w połączeniu z nieszczelnością nawierzchni i złym odprowadzeniem wody powstało pęknięcie w podstawie ścian czołowych na styku z konstrukcją sklepienia. Długotrwałe działanie degradacyjne doprowadziło do całkowitego odspojenia ścian czołowych i przesunięcia. W wyniku powstałych początkowych odkształceń uległa zmianie geometria i warunki stateczności ściany w wyniku powstałych dodatkowych sił i zgodnie teorią odkształceń II rzędu proces degradacji nasilił się.

Ściana południowa nad sklepieniem S3 uległa przesunięciu na 10 cm, a od strony północnej na 6 cm. Nad sklepieniem S1 przesunięcie wynosi 6 cm i 4 cm. Oprócz przesunięcia zaobserwowano odchylenia od pionu ścian czołowych, a w konsekwencji murków opartych na nich. Pomierzone odchylenia sięgają 10 % (m.in. 5cm na wysokości 50cm dla murku południowego nad podporą P2).

6.4.3. Podpory

Podpory wiaduktu posadowione są bezpośrednio. W wielu miejscach widać lokalne ubytki zaprawy spoin i kamienia podpór.

Masywne skrzydła obiektu są w znacznym stopniu zarośnięte mchem oraz trawą.

Brak izolacji w połączeniu z ukształtowaniem sklepień doprowadziło do skumulowanego gromadzenia się wody w obrębie podpór powodując liczne zacieki, wykwit i zarysowania. Szczególnie niebezpieczne jest pojawienie się rys pionowych na podporach pośrednich.

6.4.4. Inne nieprawidłowości stwierdzone na obiekcie

Murki po obu stronach są częściowo odchylone od pionu, a część muru odmurowanego południowego od Rybnicy jest pęknięta.

Ekran przeciwporażeniowy są przekrzywione i nie spełniają warunków geometrycznych wymaganych przepisami. Stwierdzono zbyt małą wysokość wypełnienia pełnego (jest 87-90 cm, a powinno być 120cm) jak również całkowitej wysokości z wypełnieniem ażurowym (jest 187-190 cm, a powinno być 210cm). Od strony południowej osł ekranów nie pokrywa się z osią przebiegu sieci trakcyjnej - przesunięcie w planie wynosi 25 cm. Ekran są zakrzywione, skorodowane i posiadają ubytki.

Balustrady z uwagi na brak chodnika teoretycznie nie pełnią roli zabezpieczenia ruchu pieszych, ale z uwagi na brak innej możliwości przekroczenia przeszkody przez pieszych w praktyce odbywa się ruch na poboczu, a zamontowane balustrady nie spełniają wymagań. Pochwyty są zbyt wąskie (jest z rury o średnicy 42mm, a powinien mieć 80 mm szerokości). Dodatkowo balustrada nad linią kolejową powinna mieć wysokość 1,3m, a ma wysokość od 1,0m do 1,1m.

Urządzenia obce w postaci kabli podwieszonych do gzymsu północnego mają uszkodzoną rurę osłonową od strony Jeleniej Góry.

7. BADANIA KONSTRUKCJI I WYNIKI

7.1. Szczegółowy zakres badań

- ◆ Zaplanowany program badawczy sklepienia betonowego obejmował ocenę jednorodności wytrzymałości betonu na ściskanie przeprowadzonego za pomocą sklerometru Schmidta typu „N”, lokalizację prętów zbrojeniowych w zakresie niezbędnym do wyznaczenia nośności obiektu, określenie ich średnic oraz grubości betonowej otuliny. Na podstawie przeprowadzonej wizji lokalnej, badaniom poddano wybrane fragmenty konstrukcji, uznane za reprezentatywne dla całej konstrukcji obiektu. Badania materiałowe przeprowadzono na sklepieniu betonowym S2.
- ◆ Zaplanowany program badawczy sklepień i ścian czołowych z ciosów kamiennych obejmował wykonanie odwiertów kontrolnych w celu określenia grubości i ocenę stanu zapraw spoin, oddziaływanie uszkodzeń i ich wpływ na nośność globalną.

7.2. Ocena jednorodności betonu za pomocą metody sklerometrycznej

Badania przeprowadzono za pomocą sklerometru Schmidta typu „N”, realizując je zgodnie ze wskazówkami zawartymi w instrukcji fabrycznej, stosownej instrukcji ITB oraz przestrzegając wymagań określonych w PN-74/B-06262. Poniższe pomiary wykonane zostały przy okazji wykonywania badań obiektu w kwietniu 2013r.

- ◆ Sklerometr wykorzystany w badaniach poddano kontroli technicznej przed i po pomiarach. Stwierdzono, że urządzenie były w pełni sprawne.
- ◆ Jako hipotetyczne równanie regresji przyjęto równanie zalecane w instrukcji fabrycznej w postaci:

$$R = 0,011 L^2 + 0,902 L - 12,87.$$

TABELA 7.1

| Lp. | Kąt pomiaru [o] | Liczba uderzeń L | | | | | | | | | | Lśr | Lśr spr | R i [MPa] | R i spr [MPa] |
|-----|-----------------|------------------|----|----|----|----|----|----|----|----|----|------|---------|-----------|---------------|
| | | 1 | 2 | 3 | 4 | 5 | 6 | 7 | 8 | 9 | 10 | | | | |
| 1 | 45 | 54 | 52 | 56 | 52 | 54 | 55 | 52 | 56 | 54 | 52 | 53,7 | 53,7 | 35,02 | 28,72 |
| 2 | 45 | 52 | 52 | 54 | 54 | 52 | 54 | 52 | 54 | 56 | 52 | 53,2 | 53,2 | 34,48 | 28,28 |
| 3 | 45 | 58 | 54 | 56 | 54 | 54 | 58 | 56 | 56 | 54 | 56 | 55,6 | 55,6 | 37,11 | 30,43 |
| 4 | 45 | 50 | 52 | 50 | 53 | 50 | 52 | 54 | 52 | 54 | 55 | 52,2 | 52,2 | 33,41 | 27,40 |
| 5 | 45 | 50 | 51 | 48 | 50 | 51 | 52 | 52 | 52 | 49 | 49 | 50,4 | 50,4 | 31,51 | 25,84 |
| 6 | 45 | 53 | 51 | 54 | 52 | 52 | 53 | 52 | 50 | 51 | 53 | 52,1 | 52,1 | 33,30 | 27,31 |
| 7 | 45 | 49 | 50 | 52 | 54 | 53 | 53 | 52 | 51 | 53 | 53 | 52,0 | 52,0 | 33,20 | 27,22 |
| 8 | 45 | 51 | 52 | 50 | 54 | 51 | 54 | 50 | 50 | 52 | 50 | 51,4 | 51,4 | 32,56 | 26,70 |
| 9 | 45 | 51 | 52 | 53 | 53 | 52 | 51 | 50 | 55 | 54 | 51 | 52,2 | 52,2 | 33,41 | 27,40 |
| 10 | 45 | 52 | 50 | 48 | 52 | 51 | 53 | 51 | 51 | 53 | 53 | 51,4 | 51,4 | 32,56 | 26,70 |
| 11 | 45 | 51 | 50 | 50 | 53 | 51 | 52 | 53 | 52 | 54 | 55 | 52,1 | 52,1 | 33,30 | 27,31 |
| 12 | 45 | 52 | 50 | 50 | 52 | 49 | 50 | 50 | 52 | 52 | 50 | 50,7 | 50,7 | 31,82 | 26,09 |

Średnia = 52,3

27,45

W wyniku przeprowadzonych obliczeń uzyskano następujące wyniki:

– Odchylenie standardowe
$$s_R = \sqrt{\frac{1}{n-1} \sum_{i=1}^n (R_i - \bar{R})^2} = 1,19$$

– Współczynnik zmienności wytrzymałości
$$v_R = \frac{s_R}{\bar{R}} \times 100\% = 4,34\%$$

- Z wartości współczynnika zmienności na poziomie $v_R = 4,34\%$ wynika, że przypowierzchniowa warstwa betonu sklepienia ma ***bardzo dobrą*** jednorodność.

Wytrzymałość betonu można jedynie oszacować z uwagi na brak wyników ze ściskania odwiertów, a po uzyskanych wynikach z badania sklerometrycznego i stanu konstrukcji na podstawie badań podobnych obiektów szacuje się wytrzymałość betonu w granicach **20-25 MPa**.

7.3. Lokalizacja prętów zbrojeniowych oraz ocena grubości betonowej otuliny

Badania przeprowadzono za pomocą metody elektromagnetycznej, wykorzystując przyrządy „Elcometer 331” model THD i „COVER-Master” model CM9, oraz dokonując bezpośrednich pomiarów w odkrywkach (odkuwkach) prętów zbrojeniowych.

- ◆ W przyjętych do badań fragmentach sklepienia S2 w rejonie podparcia zlokalizowano pręty zbrojeniowe. Zbadano także rozstaw prętów w sklepieniu i grubość otuliny prętów.
- ◆ W sklepieniu stwierdzono niejednorodny rozstaw zbrojenia podłużnego i poprzecznego przy bardzo grubej otulinie. Pręty poprzeczne rozmieszczone są w rozstawach co 13 -16 cm, a pręty podłużne w rozstawach co 17 - 28 cm. Otulina prętów głównych wynosi 13-14 cm. Niejednorodny i zbyt duży rozstaw zbrojenia, a w szczególności grubość otuliny wskazuje, że przy ocenie nośności ustroju należy traktować obiekt jako betonowy nie zbrojony - w związku z powyższym nie przeprowadzono dodatkowych odkrywek zbrojenia z celu uniknięcia niszczenia konstrukcji zgodnie z zaleceniem Inwestora.

8. STATYCZNO – WYTRZYMAŁOŚCIOWA ANALIZA KONSTRUKCJI

8.1. Założenia do obliczeń

Analizę statyczno – wytrzymałościową istniejącego drogowego wiaduktu sklepionego przeprowadzono dla ustroju nośnego i ścian czołowych.

Obliczenia opierają się na założeniu sprężystej pracy konstrukcji. Metodą obliczeń są naprężenia liniowe w konwencji rozdzielonych współczynników bezpieczeństwa.

Obliczenia wykonano stosując program do analizy statycznej konstrukcji „Autodesk Robot Structural Analysis 2011”, dodatkowego modułu programu do obliczeń ścian oraz przy zastosowaniu arkusza kalkulacyjnego Microsoft Excel w części zasadniczej, tj. przy zestawieniu obciążeń i sprawdzeniu naprężeń.

W obliczeniach ustroju niosącego uwzględniono obciążenia normowe rozłożone na grubości zasypki w postaci obciążeń rozłożonych pionowych i poziomych od hamowania.

Ściana czołowa w rzeczywistości ma zmienną wysokość, a analizie obliczeniowej poddano przekrój w 1/6 rozpiętości sklepienia skrajnego jako przekroju miarodajnego o wysokości zasypki $h = 1,54$ m.

8.2. Ustrój niosący

8.2.1. Zestawienie obciążeń

Obciążenie stałe

strefa jezdni

Konstrukcja łuku

Obciążenie zdefiniowano automatycznie jako ciężar elementów skończonych w modelu MES

Grunt - zdefiniowano automatycznie jako ciężar elementów skończonych w modelu MES

| | | | | | | | |
|-------------------|------------------|------------|---------------|---------------|---------------|---------------|-------------|
| kolumny zastępcze | $0,2 \cdot 20 =$ | 4 | $\cdot 0,9 =$ | 3,60 | $\cdot 1,5 =$ | 6,00 | |
| | | Gj= | 4,00 | Gj(-)= | 3,60 | Gj(+)= | 6,00 |

Obciążenie ruchome

Obciążenie obliczeniowe

Obciążenie taborem samochodowym wg:

- Instrukcja do określania nośności użytkowej drogowych obiektów mostowych

obciążenie pionowe

współczynnik dynamiczny

$$\varphi = 1,35 - 0,005 \cdot 7,55 = 1,312 < 1,325$$

$$h1 = 0,5$$

$$\varphi(h) = 1,31225$$

współczynnik obliczeniowy

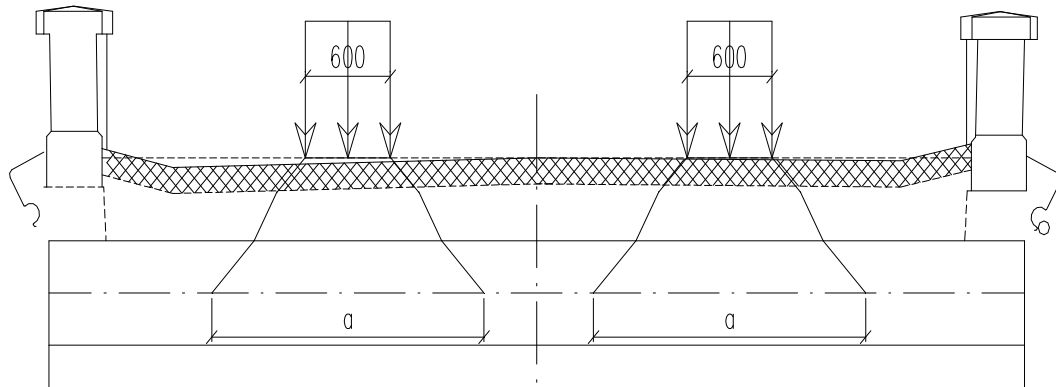
$$\gamma = 1,312 \cdot 1,5 = 1,968$$

obciążenie osi

| | | | |
|----------------|----------|--------------------|--------------------------------|
| Klasa C | P | $100 \cdot \gamma$ | 196,84 kN/m² |
|----------------|----------|--------------------|--------------------------------|

Obciążenie rozłożone

Obciążenie kół rozłożono na powierzchnię 0,2x0,6m

Rozkład poprzeczny obciążenia

| | |
|------------------------|---------|
| Nr osi obciążenia | Klasa C |
| Obciążenie skupione P= | 50 |
| grubość | |
| nawierzchni | 0,20 |
| Wysokość naziomu | 0,5 |
| Szerokość koła | 0,6 |
| Grubość sklepienia | 0,6 |

Szerokość rozkładu a= 1,920 m

Długość rozkładu w kluczu 1,520 m
pow. rozłożenia 2,918

Rozstaw osi 1,200 m

Zamodelowano obciążenie ruchome jako równomiernie rozłożone

szerokość a= 1,920 m
długość l= 4,800 m
pow. rozłożenia 9,216

Obciążenie rozłożone 21,70 kN/m²

Obliczeniowe ze wsp. 42,72

Siła hamowania

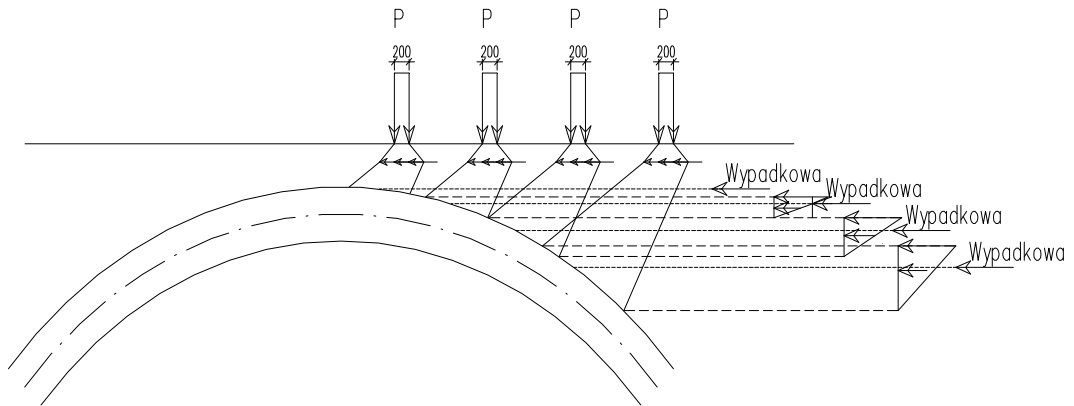
| | |
|------------------------|---------|
| Nr osi obciążenia | P |
| Obciążenie skupione P= | 50 kN |
| Szerokość rozkładu a= | 1,920 m |
| Składowa siły pionowej | 0,10 |

Siła pozioma 2,60 kN

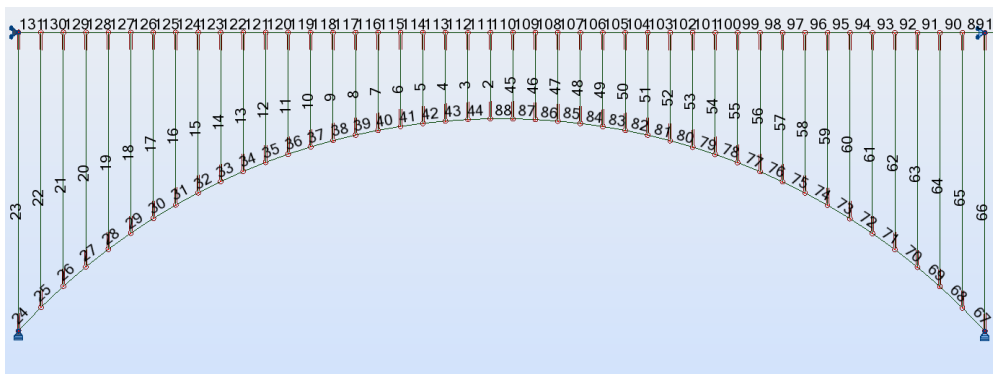
Obliczeniowe ze wsp. 3,39 kN

Rozkład podłużny obciążenia

Rozkład obciążenia od hamowania



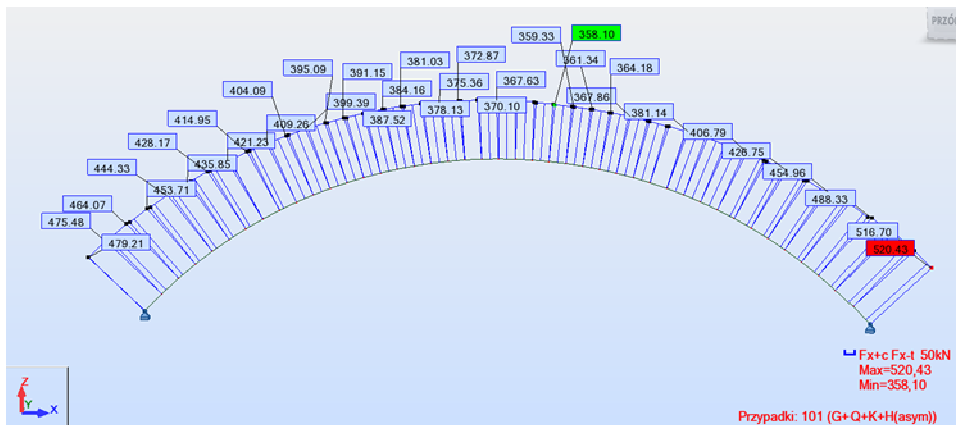
8.2.2. Model obliczeniowy



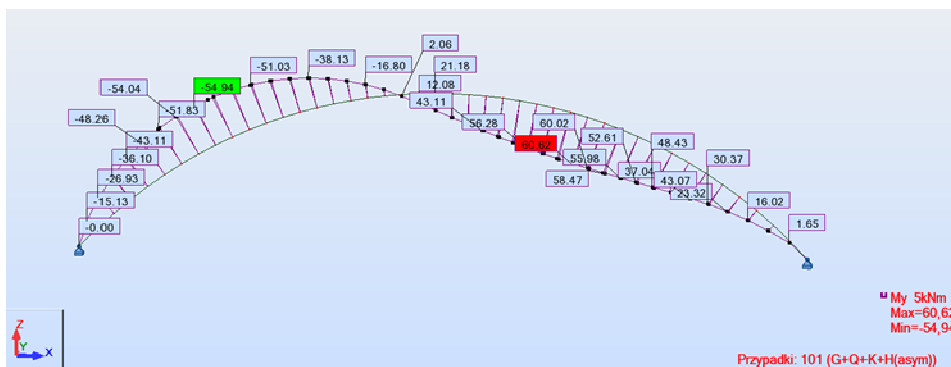
8.2.3. Siły wewnętrzne

Siły wewnętrzne - od ciężaru stałego i obciążenia klasy C - asymetria

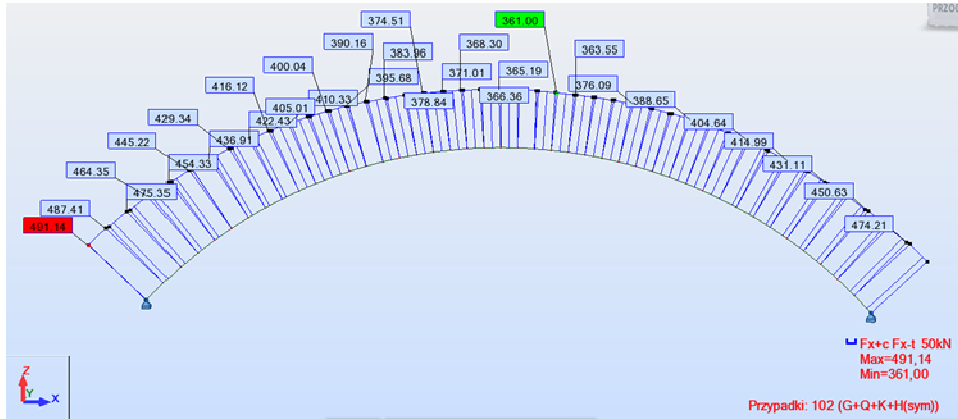
- siły osiowe w sklepieniu



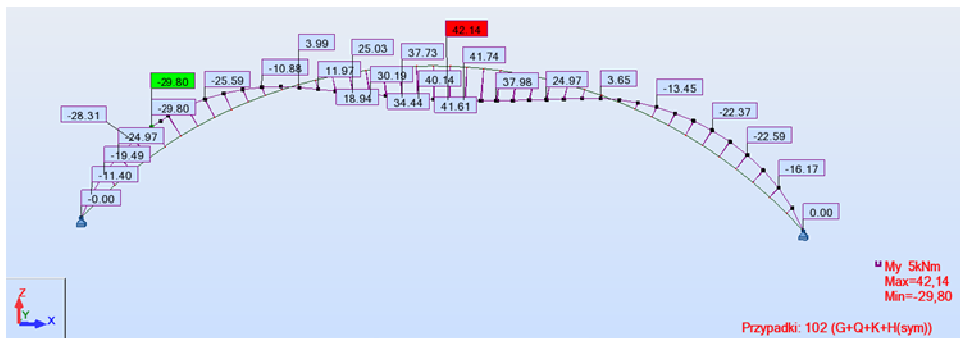
- momenty zginające w sklepieniu



Siły wewnętrzne - od ciężaru stałego i obciążenia klasy C - symetria
- siły osiowe w sklepieniu



- momenty zginające w sklepieniu



8.2.4. Wymiarowanie

- układ obciążenia asymetrycznego

Grubość łuku $g = 0,6 \text{ m}$

| Naprężenia | | | | | | strefa ściskana | Napr. Krawędz. |
|------------|-------|-------|---------|---------|----------|-----------------|-----------------|
| Fx | My | e | Smax | Smin | Sśrednie | a | S |
| kN | kNm | m | kPa | kPa | kPa | m | kPa |
| 380 | 60,62 | 0,160 | 1643,67 | -377,00 | 633,33 | 0,488057 | 1557,196 |

Naprężenia w zredukowanym przekroju strefy ściskanej
 - brak przenoszenia naprężeń przez strefę rozciąganą

S(Fx) = 778,598 kPa 0,78 MPa

S(My) = 1730,137 kPa 1,73 MPa

| | | |
|-----------|---------------------|-----------------|
| S= | 2508,735 kPa | 2,51 MPa |
|-----------|---------------------|-----------------|

- układ obciążenia symetrycznegoGrubość łuku $g=$ 0,6 m

| Fx kN | My kNm | e m | Naprężenia | | | strefa | Napr. |
|----------|-----------|--------|-------------|-------------|----------------|--------------------|----------------------|
| | | | Smax kPa | Smin kPa | Srednie kPa | ściskana a m | Krawędz. S kPa |
| 361 | 42,14 | 0,117 | 1304,00 | -100,67 | 601,67 | 0,557 | 1296,229 |

Naprężenia w zredukowanym przekroju strefy ściskanej
- brak przenoszenia naprężeń przez strefę rozciąganą

$$S(F_x) = 648,1143 \text{ kPa} \quad 0,65 \text{ MPa}$$

$$S(M_y) = 1311,771 \text{ kPa} \quad 1,31 \text{ MPa}$$

| | | |
|-----------|---------------------|-----------------|
| S= | 1959,886 kPa | 1,96 MPa |
|-----------|---------------------|-----------------|

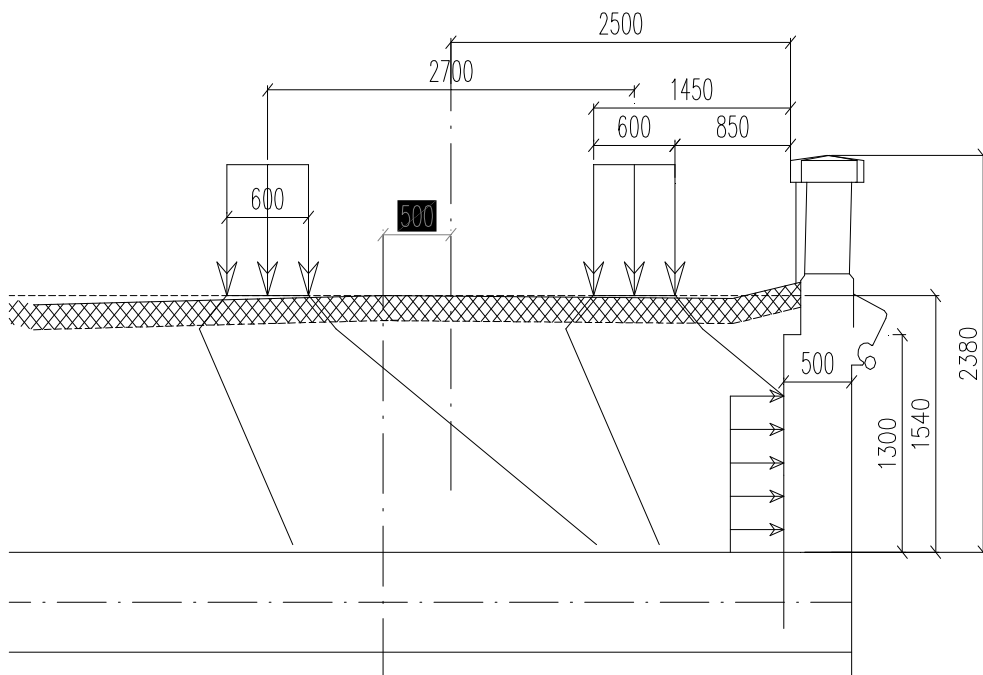
8.1. Ściana czołowa**8.1.1. Schematy obciążenia**

Sprawdzenie stateczności ściany czołowej wykonano dla przekroju w 1/6 rozpiętości sklepienia dla wysokości naziomu $h=$ 1,54 m

Rozkład obciążenia:

| Klasa C | | | Klasa D | | | Klasa E | | |
|---------|----------|-------------------|---------|----------|-------------------|---------|----------|-------------------|
| P= | 50 | kN | P= | 40 | kN | P= | 30 | kN |
| a= | 0,6 | | a= | 0,6 | | a= | 0,6 | |
| L= | 4,8 | | L= | 4,8 | | L= | 4,8 | |
| q(K)= | 17,36111 | kN/m ² | q(K)= | 13,88889 | kN/m ² | q(K)= | 10,41667 | kN/m ² |

Schemat obciążenia przy minimalnej odległości od ściany



Obliczenia przeprowadzono modułem do obliczania ścian czołowych programu:
„Autodesk Robot Structural Analysis 2011”

8.1.2. Wyciąg z obliczeń programu do ścian oporowych - stan bez uszkodzeń**KLASA D -**

- **Grunty za ścianą:**

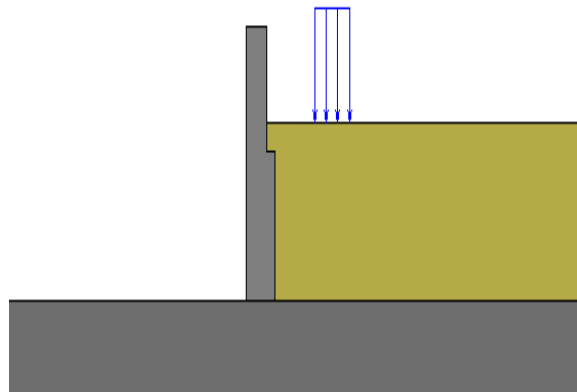
Opis:

| Lp. | Nazwa gruntu | Poziom* [cm] | Miąższość [cm] | Typ konsolidacji | Typ wilgotności | I _D /I _L |
|-----|---------------|-----------------|-------------------|---------------------|--------------------|--------------------------------|
| 1 | Piasek średni | 154,00 | 154,00 | - | wilgotne | 0,200 |

* Względem prawego dolnego punktu stopy

Parametry:

| Lp. | Spójność [kN/m ²] | Kąt tarcia [Deg] | Ciężar obj. [kN/m ³] | M [MN/m ²] | Mo [MN/m ²] |
|-----|----------------------------------|---------------------|-------------------------------------|------------------------|-------------------------|
| 1 | 0,00 | 31,13 | 18,00 | 61,54 | 55,38 |

Obciążenia

- **Zestawienie obciążeń**

.

1 równomiernie rozłożone

a1 stała x1 = 0,85 (m) x2 = 1,45 (m) **P = 13,89 (kN/m²)**

.

Wyniki obliczeń geotechnicznych

.

PARCIA

.

Parcie i odpór gruntu : zgodnie z przemieszczeniami muru

Współczynniki parć i odporów granicznych i spoczynkowych dla gruntów:

Średni kat nachylenia naziomu $\varepsilon = 0,00$ (Deg)Kat nachylenia ściany $\beta = 0,00$ (Deg)

$$K_a = \frac{\cos^2 \cdot (\beta - \phi)}{\cos^2 \beta \cdot \cos(\beta + \delta_2) \cdot \left(1 + \sqrt{\frac{\sin(\phi + \delta_2) \cdot \sin(\phi - \varepsilon)}{\cos(\beta + \delta_2) \cdot \cos(\beta - \varepsilon)}} \right)^2}$$

$$K_p = \frac{\cos^2 \cdot (\beta + \phi)}{\cos^2 \beta \cdot \cos(\beta + \delta_2) \cdot \left(1 - \sqrt{\frac{\sin(\phi - \delta_2) \cdot \sin(\phi + \varepsilon)}{\cos(\beta + \delta_2) \cdot \cos(\beta - \varepsilon)}} \right)^2}$$

$$K_o = \frac{\sigma_x}{\sigma_z} = \frac{\nu}{1 - \nu}$$

$$K_a \leq K_o \leq K_p$$

Grunty za ścianą:

| Lp. | Nazwa gruntu | Poziom [cm] | Kąt tarcia [Deg] | Ka | Ko | Kp |
|-----|---------------|----------------|---------------------|-------|-------|-------|
| 1. | Piasek średni | 154,00 | 31,13 | 0,288 | 0,483 | 4,436 |

- Uogólnione przemieszczenia graniczne
odpór 0,130
parcie 0,013

OBRÓT

- Kombinacja wymiarująca: 1,000*CM + 1,200*GZ + 1,000*a1
- Zredukowane obciążenie wymiarujące:
N=-28,23 (kN/m) My=-10,07 (kN*m) Fx=-9,99 (kN/m)
- Moment obracający: Mo= 5,18 (kN*m)
- Moment zapobiegający obrotowi fundamentu: M_{uf} = 7,20 (kN*m)
- **Współczynnik bezpieczeństwa: M_{uf} * m / M_o = 1,002 > 1,000**

POŚLIZG

- Kombinacja wymiarująca: 1,000*CM + 1,200*GZ + 1,000*a1
- Zredukowane obciążenie wymiarujące:
N=-28,23 (kN/m) My=-10,07 (kN*m) Fx=-9,99 (kN/m)
- Zastępczy wymiar stopy: A = 50,00 (cm)
- Współczynnik tarcia:
- gruntu (na poziomie posadowienia): μ = 0,502
- Współczynnik redukcji spójności gruntu = 100,000 %
- Spójność: C = 0,00 (kN/m²)
- Wartość siły poślizgu: Q_{tr} = 9,99 (kN/m)
- Wartość siły zapobiegającej poślizgowi muru:
Q_{tf} = N * μ + C * A
- - w poziomie posadowienia: Q_{tf} = 14,17 (kN/m)
- **Współczynnik bezpieczeństwa: Q_{tf} * m / Q_{tr} = 1,021 > 1,000**

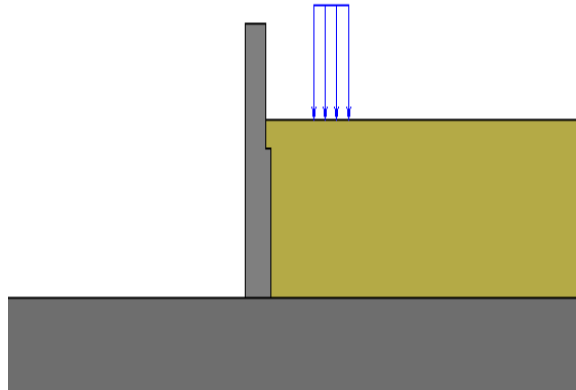
Maksymalne obciążenie spełniające warunki stateczności ściany oporowej bez uwzględnienia uszkodzeń i oddziaływania wód odpowiada klasie obciążeń D obciążeń normowych wg PN-85/S-10030. Ciężar pojazdów dopuszczalnych do eksploatacji po obiekcie mógłby wynieść 200 kN (20 ton).

Jednakże z uwagi na stan uszkodzeń i degradujące oddziaływanie wód przeprowadzono obliczenia uzupełniające uwzględniające uszkodzenia.

8.1.3. Nośność ściany uszkodzonej

W obliczeniach uwzględniono przesunięcie ściany i wynikający z tego faktu mimośród i zmniejszenie podstawy.

Obciążenia



- **Zestawienie obciążeń**

- 1 równomiernie rozłożone

- a1 stała $x_1 = 0,85$ (m) $x_2 = 1,45$ (m) **$P = 4,00$ (kN/m²)**

- 2 skupione na ścianie

- a2 stała $z = 0,00$ (m) $V = -0,00$ (kN) $H = -0,00$ (kN) $M = 0,10$ (kN*m)

- **5. Wyniki obliczeń geotechnicznych**

- *PARCIA*

Parcie i odpór gruntu : zgodnie z przemieszczeniami muru
Współczynniki parć i odporów granicznych i spoczynkowych dla gruntów:

Średni kat nachylenia naziomu $\varepsilon = 0,00$ (Deg)

Kat nachylenia ściany $\beta = 0,00$ (Deg)

$$K_a = \frac{\cos^2 \cdot (\beta - \phi)}{\cos^2 \beta \cdot \cos(\beta + \delta_2) \cdot \left(1 + \sqrt{\frac{\sin(\phi + \delta_2) \cdot \sin(\phi - \varepsilon)}{\cos(\beta + \delta_2) \cdot \cos(\beta - \varepsilon)}} \right)^2}$$

$$K_p = \frac{\cos^2 \cdot (\beta + \phi)}{\cos^2 \beta \cdot \cos(\beta + \delta_2) \cdot \left(1 - \sqrt{\frac{\sin(\phi - \delta_2) \cdot \sin(\phi + \varepsilon)}{\cos(\beta + \delta_2) \cdot \cos(\beta - \varepsilon)}} \right)^2}$$

$$K_o = \frac{\sigma_x}{\sigma_z} = \frac{\nu}{1 - \nu}$$

$$K_a \leq K_o \leq K_p$$

Grunty za ścianą:

| Lp. | Nazwa gruntu | Poziom [cm] | Kąt tarcia [Deg] | Ka | Ko | Kp |
|-----|---------------|----------------|---------------------|-------|-------|-------|
| 1. | Piasek średni | 154,00 | 31,13 | 0,288 | 0,483 | 4,436 |

- Uogólnione przemieszczenia graniczne

odpór 0,130

parcie 0,013

OBRÓT

- Kombinacja wymiarująca: $1,000 \cdot CM + 1,200 \cdot GZ + 1,000 \cdot a1 + 1,000 \cdot a2$
- Zredukowane obciążenie wymiarujące:
 $N = -25,47$ (kN/m) $My = -7,44$ (kN*m) $Fx = -7,93$ (kN/m)
- Moment obracający: $Mo = 4,16$ (kN*m)
- Moment zapobiegający obrotowi fundamentu: $M_{uf} = 5,76$ (kN*m)
- Współczynnik bezpieczeństwa: $M_{uf} \cdot m / M_0 = 0,996 < 1,000$

POŚLIZG

- Kombinacja wymiarująca: $1,000 \cdot CM + 1,200 \cdot GZ + 1,000 \cdot a1 + 1,000 \cdot a2$
- Zredukowane obciążenie wymiarujące:
 $N = -25,47$ (kN/m) $My = -7,44$ (kN*m) $Fx = -7,93$ (kN/m)
- Zastępczy wymiar stopy: $A = 44,00$ (cm)
- Współczynnik tarcia:
 - gruntu (na poziomie posadowienia): $\mu = 0,502$
- Współczynnik redukcji spójności gruntu = 100,000 %
- Spójność: $C = 0,00$ (kN/m²)
- Wartość siły poślizgu: $Q_{tr} = 7,93$ (kN/m)
- Wartość siły zapobiegającej poślizgowi muru:
 $Q_{tf} = N \cdot \mu + C \cdot A$
- - w poziomie posadowienia: $Q_{tf} = 12,78$ (kN/m)
- Współczynnik bezpieczeństwa: $Q_{tf} \cdot m / Q_{tr} = 1,161 > 1,000$

Wpływ przesunięcia ściany na aktualną nośność

| | | |
|------------------------|-------|----------------------|
| Wysokość ściany | $h =$ | 2,38 |
| szerokość przesunięcia | $s =$ | 0,06 m |
| ciężar ściany | $g =$ | 24 kN/m ³ |

Dodatkowe obciążenie od mimośrodowe położenia ściany

$$M = h \cdot s \cdot g \cdot s / 2 = 0,1028 \text{ kNm}$$

Maksymalne obciążenie $q(K) = 4 \text{ kN/m}^2$
 odpowiada to 38,4 % obciążenia klasy E

| | | |
|----------------|----------------|-----------------|
| Klasa E: | 150 kN | 15 ton |
| nośność | 57,6 kN | 5,76 ton |

8.1.4. Nośność ściany uszkodzonej przy prowadzeniu ruchu w osi obiektu

Jako uzupełnienie obliczeń sprawdzono nośność przy założeniu przejazdu pojazdu środkiem jezdni. Da to odpowiedź na ewentualne możliwości prowadzenia działań doraźnych.

Aktualna nośność przy prowadzeniu ruchu w osi wiaduktu

| | | | |
|-----------------------|----------|---------------------|--------------------|
| Maksymalne obciążenie | $q(K)=$ | 8 kN/m ² | |
| odpowiada to | | 76,8 % | obciążenia klasy E |
| | Klasa E: | 150 kN | 15 ton |
| nośność | | 115,2 kN | 11,52 ton |

8.2. Wnioski z obliczeń

Na podstawie przeprowadzonej analizy statyczno-wytrzymałościowej należy stwierdzić, że w obecnej chwili przedmiotowy wiadukt **nie spełnia wymagań klas obciążeń normowych wg PN-85/S-10030**. Wg normy min. klasa E odpowiada dopuszczeniu pojazdów o ciężarze 150 kN (15 ton).

O nośności obiektu decyduje zły stan ścian czołowych, których przesunięcie zmieniło schemat statyczny i ograniczyło nośność. Po uwzględnieniu stanu uszkodzeń nośność obiektu wynosi 50 kN (5 ton).

Z obliczeń wynika, że przy przejeździe pojazdów środkiem jezdni możliwe jest dopuszczenie większych obciążeń (do 200 kN - 20 ton) jednakże obecne oznakowanie nie zapewnia tego warunku, a postępująca degradacja znacząco ogranicza trwałość.

Obliczenia ustroju niosącego wskazują, że w sklepieniach naprężenia nie przekraczają 3 MPa od obciążeń klasy C (30 ton) co potwierdza właściwą pracę konstrukcji i przydatność ustroju do przebudowy.

Nośność z uwagi na uszkodzone ściany czołowe pozwala dopuścić na obiekcie ruch pojazdów samochodowych o masie całkowitej do 5 ton.

9. KONCEPCJE PRAC NAPRAWCZYCH

9.1. Zakres prac doraźnych

W ramach doraźnych prac naprawczych należy ograniczyć skrajnię poziomą obiektu zapewniając wahadłowy przejazd pojazdów środkiem jezdni.

Zwraca się uwagę na należyte oznakowanie wprowadzanych zmian z uwagi na niedostateczną widoczność na dojazdach do wiaduktu.

Do czasu przeprowadzenia remontu lub przebudowy należy prowadzić monitoring obiektu.

9.2. Koncepcja wzmocnienia

W celu przywrócenia nośności obiektu należy zabezpieczyć ściany czołowe nad sklepieniami skrajnymi np. przez wykonanie ściągów stalowych wraz z elementami stalowymi stabilizującymi ściany.

9.3. Koncepcja przebudowy

Z uwagi na brak spełnienia wymaganych przepisami parametrów zalecana jest przebudowa obiektu.

W ramach przebudowy należy np. wykonać płytę odciążającą nad sklepieniami na całej długości obiektu wraz odbudową ścian czołowych zapewniając jednocześnie:

- poszerzenie obiektu
- wykonanie wymaganych spadków poprzecznych i podłużnych wraz z systemem odwodnienia (sączki, wpusty i kolektory),
- wyposażenie w krawężniki i w bariery ochronne poprawiające widoczność,
- wykonanie izolacji i nawierzchni dla zapewnienia szczelności i ochrony sklepienia i podpór przed oddziaływaniem wód,

Należy w trakcie procesu projektowania zwrócić szczególną uwagę na zmienną podatność podłoża pod projektowaną płytą z uwagi na zmienną wysokość zasyпки wynikającą ze sklepienia. Niezbędne jest wykonstruowanie takich rozwiązań, aby w środku rozpiętości sklepień, gdzie sztywność podłoża jest największa, zminimalizować przekazywanie obciążenia i zapewnić przekazanie reakcji w strefy podporowe. Brak właściwych rozwiązań może doprowadzić do niewłaściwej pracy ustroju łukowego i przeciążenia sklepień.

Jednocześnie nie należy odtwarzać murków po obu stronach jezdni, ponieważ ograniczają one widoczność.

Obiekt nie zapewnia prowadzenia ruchu pieszych dlatego należy rozważyć budowę kładki dla pieszych obok obiektu lub chodnika na konstrukcji wsporczej opartej na filarach. Jednakże możliwości konstruowania wsporników na filarach są ograniczone z uwagi na powstałe uszkodzenia podpór i niezbędne jest ich wzmocnienie.

10. WNIOSKI I ZALECENIA

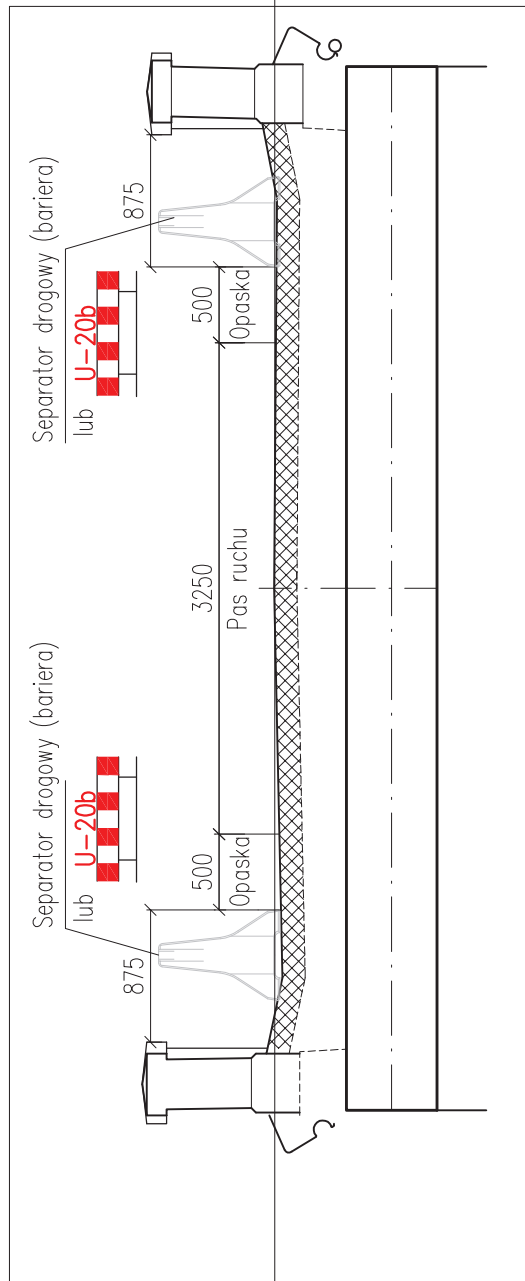
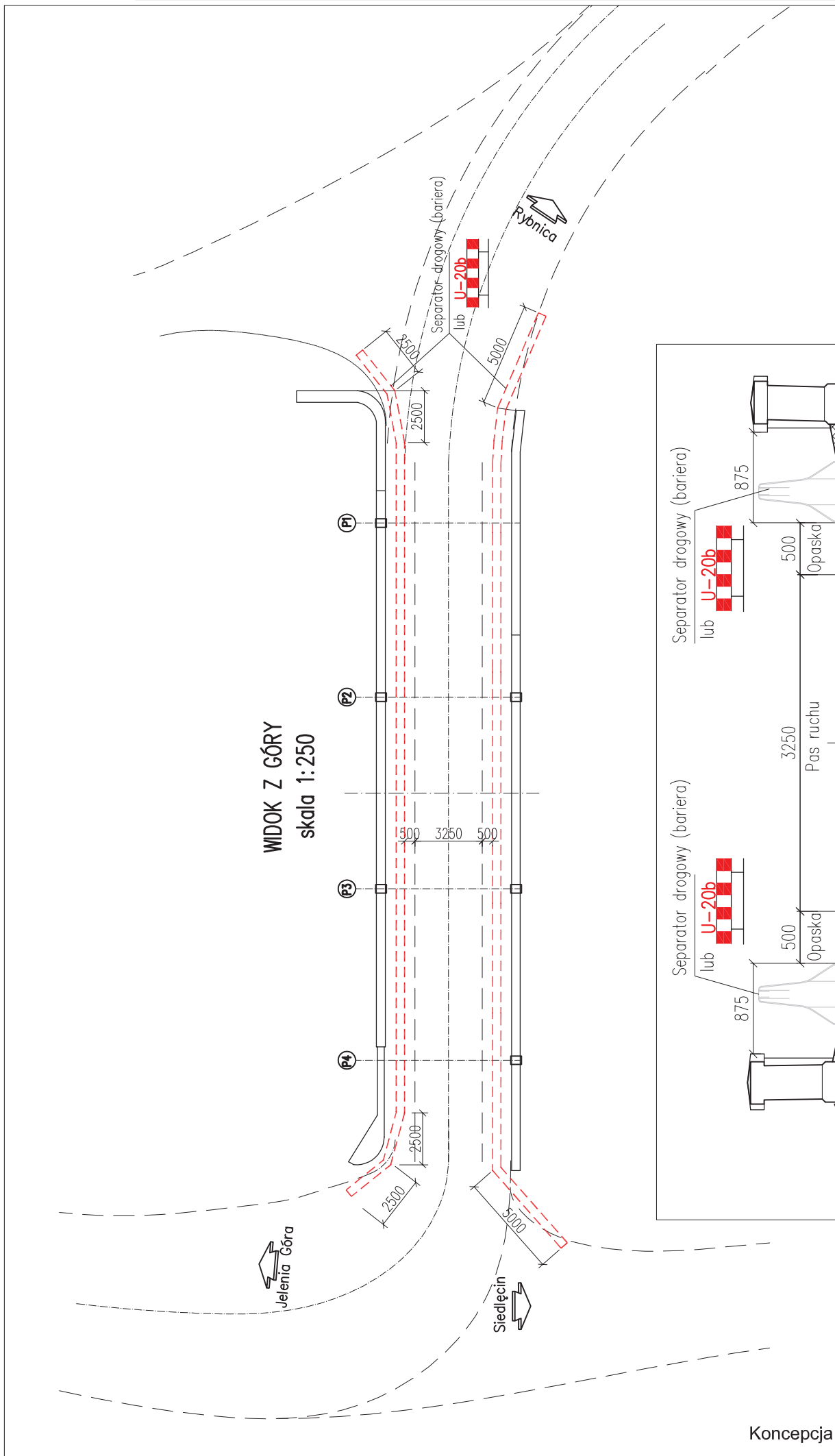
- ◆ W wyniku przeprowadzonych oględzin stwierdza się, że przedmiotowy obiekt uległ widocznej i daleko posuniętej degradacji. Ogólny stan techniczny obiektu jest zły. Konieczne jest podjęcie działań naprawczych w celu powstrzymania procesu niszczenia.
- ◆ Obliczenia statyczno wytrzymałościowe wykazały, że obecna nośność z uwagi na uszkodzone ściany czołowe pozwala dopuścić na obiekcie ruch pojazdów samochodowych o masie całkowitej do 5 ton. Jednocześnie stan sklepień i wyniki otrzymanych naprężeń od obciążeń klasy C (30 ton) potwierdza właściwą pracę konstrukcji i przydatność ustroju do przebudowy.
- ◆ Ściany czołowe uległy przesunięciu z uwagi na brak szczelności nawierzchni i złe spadki co doprowadziło do przenikania wód i w konsekwencji do degradacji.
- ◆ Długotrwały proces oddziaływania wód doprowadził do zacieków na sklepieniu w obrębie pod ścianami czołowymi, a w konsekwencji do spękań.
- ◆ Brak izolacji w połączeniu z ukształtowaniem sklepień doprowadziło do skumulowanego gromadzenia się wody w obrębie podpór powodując liczne zacieki, wykwity i zarysowania. Szczególnie niebezpieczne jest pojawienie się rys pionowych na podporach pośrednich.
- ◆ Stwierdzono, że na obiekcie na większej części powierzchni jezdni są za małe spadki i nie zapewnione jest szybkie i skuteczne odprowadzenie wody.
- ◆ Istniejące murki po obu stronach jezdni ograniczają widoczność i skrajnię obiektu.
- ◆ Wyposażenie jest w złym stanie (uszkodzone są urządzenia obce i ekrany przeciwporażeniowe).
- ◆ W związku z powyższym należy rozważyć konieczność przeprowadzenia przebudowy obiektu dla uzyskania odpowiedniej nośności i trwałości.
- ◆ Należy monitorować obiekt minimum raz na miesiąc – sprawdzając intensywność przesunięcia i obrotu ścian czołowych i zarysowania sklepienia
- ◆ Doraźnie rozważyć obustronne zwężenie skrajni i wprowadzenie ruchu wahadłowego
- ◆ Jeżeli uszkodzenia będą postępować należy do czasu wykonania przebudowy obiektu zabezpieczyć ściany czołowe nad sklepieniami skrajnymi np. przez wykonanie ściąągów stalowych wraz z elementami stalowymi stabilizującymi ściany.

- ◆ **W ramach bieżących prac należy wyregulować ustawienie ekranów przeciwporażeńiowych. Istniejąca konstrukcja ekranów przeciwporażeńiowych jest właściwa jedynie stwierdzono niewłaściwe zamontowanie. Należy lokalnie naprawić uszkodzoną siatkę na ekranach i skorygować położenie wysokościowe i ustawić ekrany w osi sieci trakcyjnej.**

Górna krawędź ekranu powinna być na wysokości 2,1 m powyżej nawierzchni.

- ◆ **Sposób obustronnego zwężenia skrajni jezdni w celu zabezpieczenia przed najazdem pojazdów w bezpośredniej bliskości murków należy wykonać zgodnie z proponowaną koncepcją.**

W ramach zawężenia należy wyłączyć z ruchu po 87,5 cm z każdej strony pozostawiając pas ruchu w osi wiaduktu o szerokości 3,25 m wraz z opaskami obustronnymi o po 0,5 m.



Koncepcja ograniczenia skrajni